

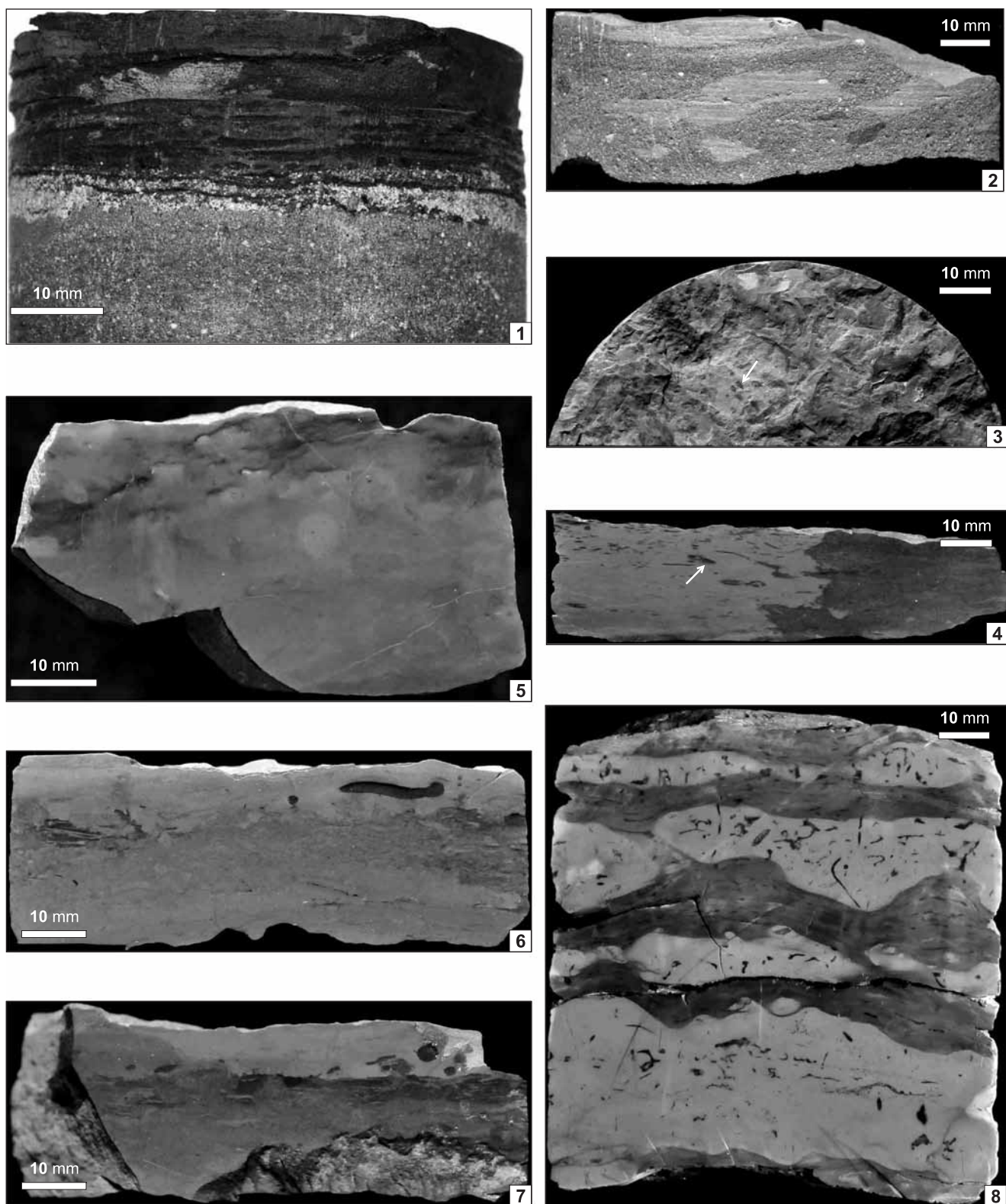
TABLICE

Tablica I

Zdjęcia przeciętych i naszlifowanych powierzchni rdzeni

Photographs of polished drill core sections

- Fig. 1. Czarny ilowiec słabo laminowany niższego landoweru (formacja z Pasłeka, ognivo z Jantaru) oddzielony od niżej leżącego piaskowca górnego ordowiku (górna część formacji z Prabut), erozyjną powierzchnią nieciągłości; Kościerzyna IG 1, głęb. 4394,0 m
Lower Llandovery weakly laminated black claystone separated from the underlying Upper Ordovician sandstone by an erosional unconformity (Pasłek Fm., Jantar Mb./upper part of Prabuty Fm.); Kościerzyna IG 1, depth 4394.0 m
- Fig. 2. Piaskowiec z soczewkami margli, facja piaskowców i mułowców, Hel IG 1, głęb. 2971,9 m; górna część formacji z Prabut
Sandstone with marl lenses, sandstone and siltstone facies, Hel IG 1, depth 2971.9 m, upper part of Prabuty Fm
- Fig. 3, 4. Ilowiec szarozielony i ciemnoszary z licznymi ichnosciami skamieniałościami *Chondrites* isp. (strzałki), Białogóra 2, głęb. 2610,5 m, formacja z Prabut, wyższy kat
Marl with numerous *Chondrites* isp. (arrows), Prabuty Fm., Białogóra 2, depth 2610.5 m, upper Katian
- Fig. 5. Wapienie marglisty słabo zbiotubowane, Białogóra 2, głęb. 2609,0 m, formacja z Prabut, hirnant
Weakly bioturbated marly limestone, Białogóra 2, depth 2609.0 m, Prabuty Fm., Hirnantian
- Fig. 6, 7. Margiel ze skamieniałościami śladowymi *Planolites* isp., Bartoszyce IG 1, głęb. 1825,5 m, formacja z Ornety, piętro porkuni
Marl with *Planolites* isp., Bartoszyce IG 1, depth 1825.5 m, Orneta Fm., Porkuni stage
- Fig. 8. Wapienie gruzłowy z licznymi skamieniałościami śladowymi *Chondrites* isp., Lidzbark Warmiński 3, głęb. 1913,0 m, formacja z Barcian, landower, piętro juuru
Nodular limestone with numerous *Chondrites* isp., Lidzbark Warmiński 3, depth 1913.0 m, Barciany Fm., Llandovery, Juuru stage



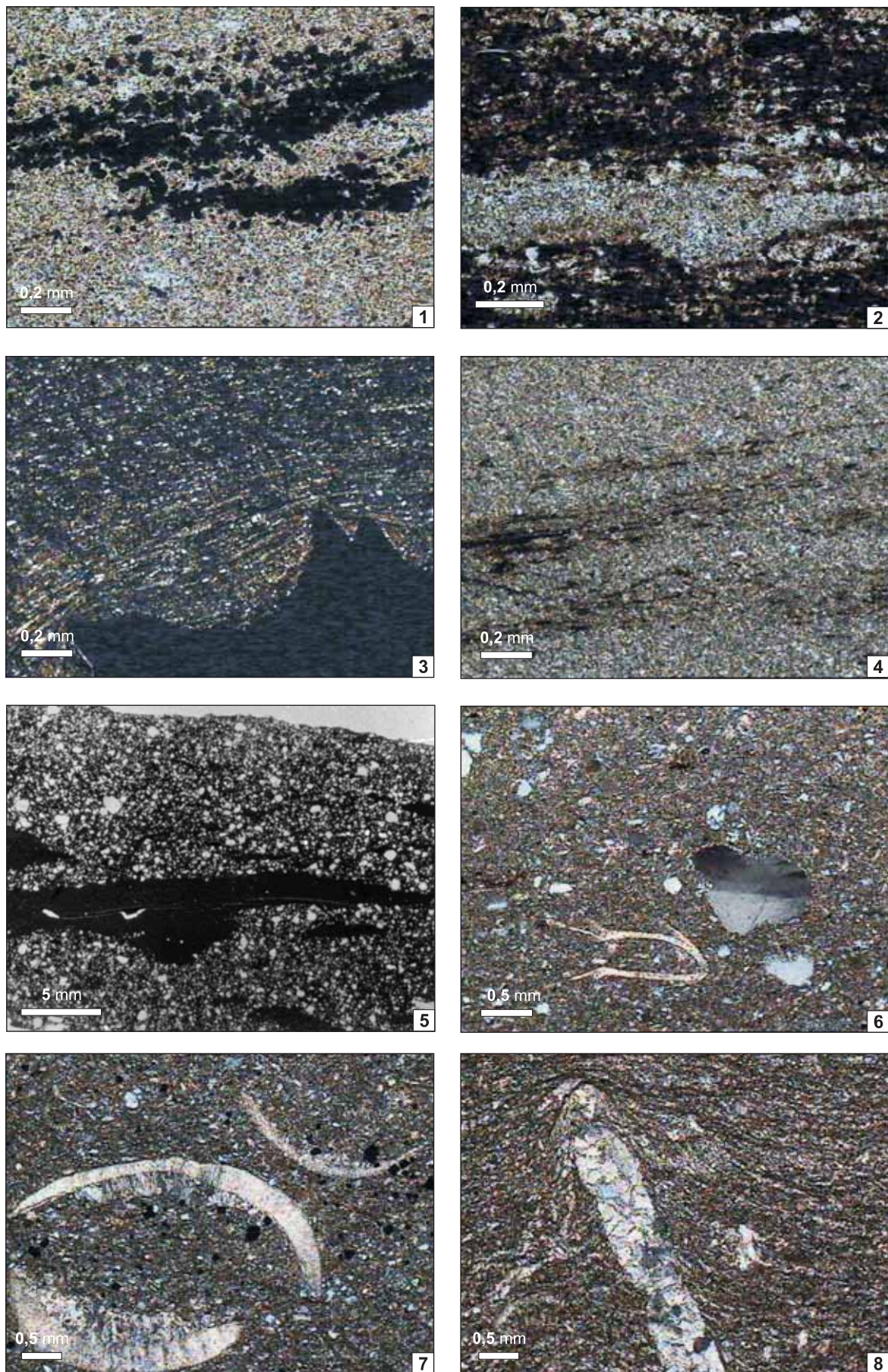
Tablica II

Fotografie mikroskopowe

Photomicrographs

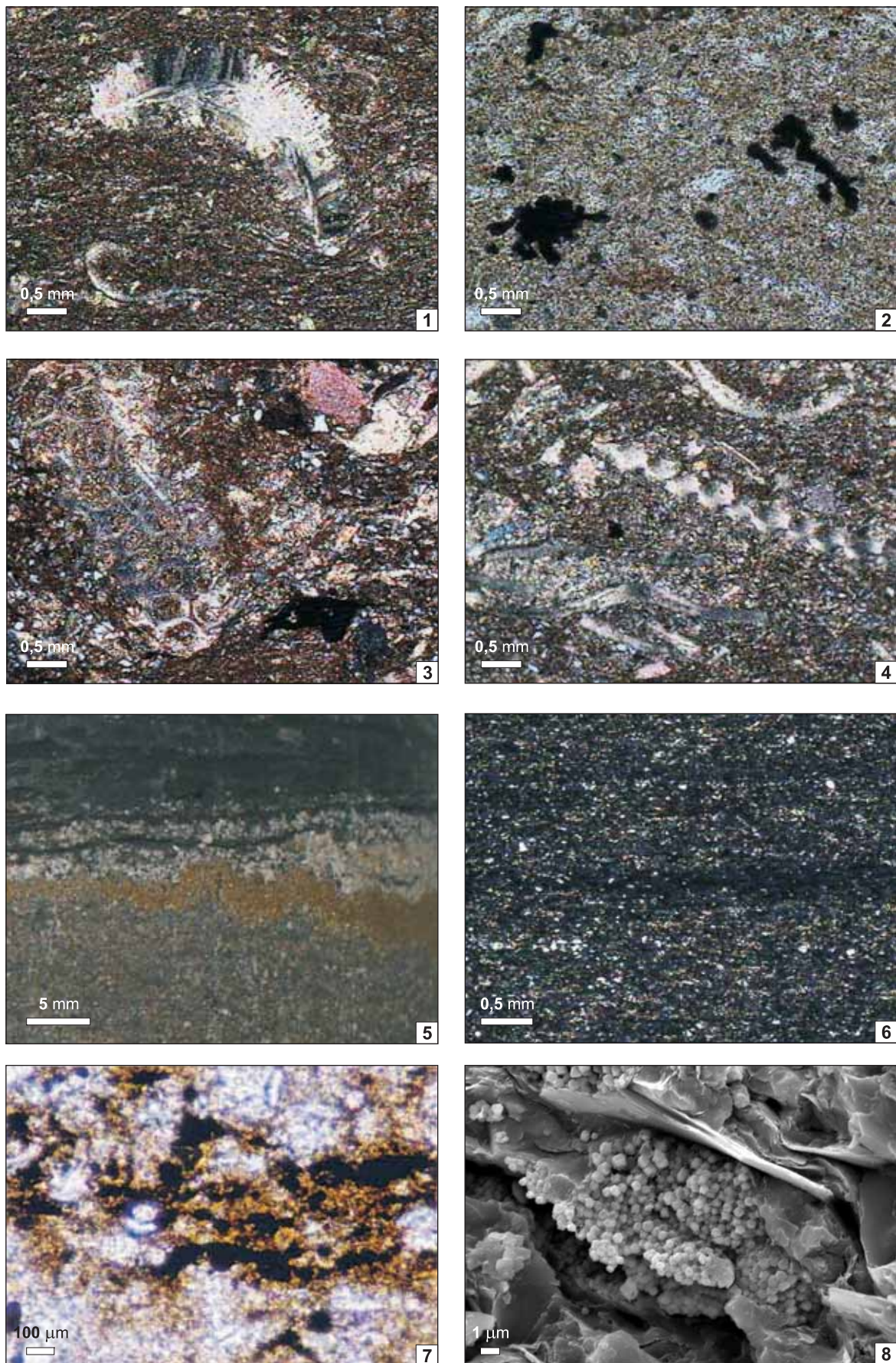
- Fig. 1. Faśnia ilowców, laminy pirytowe w obrębie szarego ilowca, Hel IG 1, głęb. 2970,7 m, poziom *ascensus*
Claystone facies, pyritic laminae in a grey claystone, Hel IG 1, depth 2970.7 m, *ascensus* Zone
- Fig. 2. Faśnia ilowców, lamina mułowcowa w obrębie ilowca czarnego, Hel IG 1, głęb. 2969,7 m, poziom *acuminatus*
Claystone facies, mudstone laminae in a black claystone, Hel IG 1, depth 2969.7 m, *acuminatus* Zone
- Fig. 3. Faśnia ilowców, ilowiec lekko laminowany, w dole duży kryształ pirytu, Hel IG 1, głęb. 2971,0 m, poziom *acuminatus*
Claystone facies, slightly laminated claystone, large pyrite grain in the lower part, Hel IG 1, depth 2971.0 m, *acuminatus* Zone
- Fig. 4. Faśnia ilowców, ilowiec szary, z laminkami substancji organicznej, Hel IG 1, głęb. 2971,3 m, granica ordowik/sylur
Claystone facies, grey claystone with organic matter laminae, Hel IG 1, depth 2971.3 m, Ordovician/Silurian boundary
- Fig. 5. Faśnia piaskowców i mułowców, waka lityczna, widoczne klasty i nieciągłe laminy margliste w obrębie nielaminowanego piaskowca, Dębki 2, głęb. 2595,7 m, formacja z Prabut
Sandstone and mudstone facies, lithic wacke, clasts and discontinuous marly laminae in non-laminated sandstone, Dębki 2, depth 2595.7 m, Prabuty Fm.
- Fig. 6. Faśnia piaskowców i mułowców, mułowiec z ziarnami kwarцу frakcji piaszczystej oraz skorupka ?mażoraczka, Hel IG 1, głęb. 2972,0 m, formacja z Prabut
Sandstone and mudstone facies, mudstone with quartz grains of sandy fraction and ?ostracod carapace, Hel IG 1, depth 2972.0 m, Prabuty Fm.
- Fig. 7, 8. Faśnia mieszana, wapienie marglisty ze skorupkami ramienionogów (wakston bioklastyczny), Hel IG 1, głęb. 2972,5 m, formacja z Prabut
Mixed facies, marly limestone with fragments of brachiopod shells, bioclastic wackestone, Hel IG 1, depth 2972.5 m, Prabuty Fm.

Nikole skrzyżowane oprócz fig. 5 – 1 nikol
Crossed polars except in Fig. 5 – single nicol



Tablica III

- Fig. 1. Faja iłowców, iłowiec marglisty ze szczątkami fauny, głęb. 4395,7 m
Claystone facies, marly claystone with bioclasts, depth 4395.7 m
- Fig. 2. Iłowiec marglisty, masywny, z nagromadzeniem substancji organicznej, głęb. 4396,55 m
Marly claystone with organic matter, depth 4396.55 m
- Fig. 3, 4 Iłowiec marglisty z licznymi bioklastami: mszywiołów, szkarłupni, trylobitów, ramienionogów, głęb. 4396,5 m
Marly claystone with numerous bioclasts: bryozoa, echinoderms, trilobites, brachiopods, depth 4396.5 m
- Fig. 5. Nierówna, spirytyzowana powierzchnia erozyjna z osadem rezydualnym, głęb. 4394,0 m, granica ordowik/sylur
Uneven, pyritized erosional surface with lag deposit, depth 4394.0 m, Ordovician/Silurian boundary
- Fig. 6. Faja iłowców, czarne iłowiec poziomu *acuminatus*, wykazujące słabą laminację poziomą, głęb. 4393,75 m
Claystone facies, black claystone of *acuminatus* Biozone with weak parallel lamination, depth 4393.75 m
- Fig. 7, 8. Faja iłowców, mikrostruktura czarnych iłowów, ziarna pirytu tworzące równoległe laminy w iłowcu, głęb. 4393,75 m, poziom *acuminatus*
Claystone facies, microstructure of black claystone, thin laminae of pyrite grains, depth 4393.75 m, *acuminatus* Biozone
- Fig. 1–8 Kościerzyna IG 1, fotografie mikroskopowe, oprócz fig. 5 – obraz pod binokularem, oraz fig. 8 – obraz w SEM; nikole skrzyżowane
Figs 1–8 Kościerzyna IG 1, photomicrographs, except in Fig. 5 – stereoscopic microscope view, and Fig. 8 – SEM photograph; crossed polars



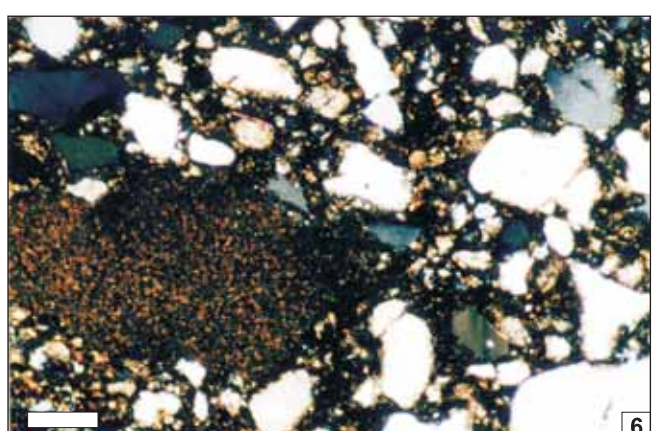
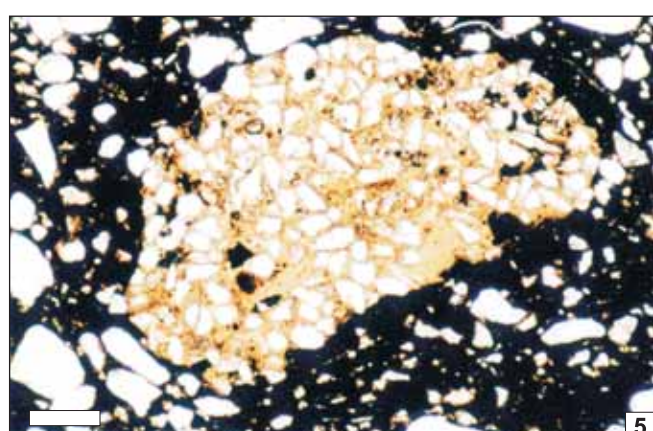
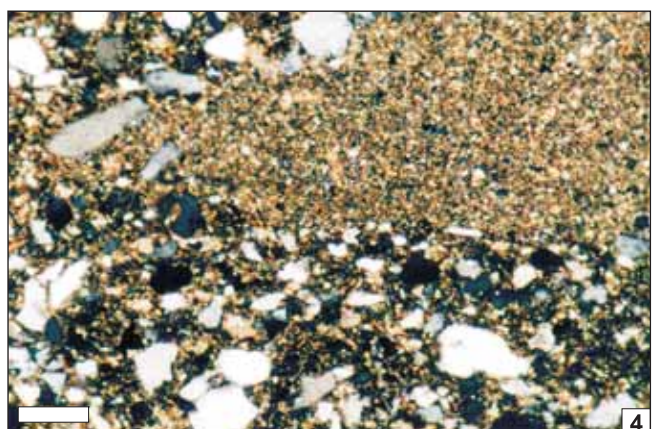
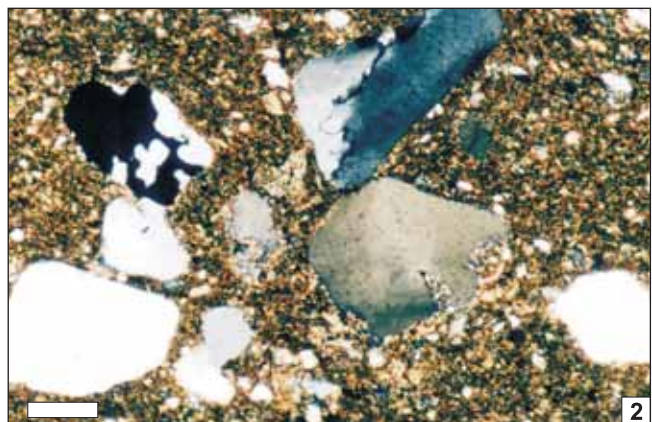
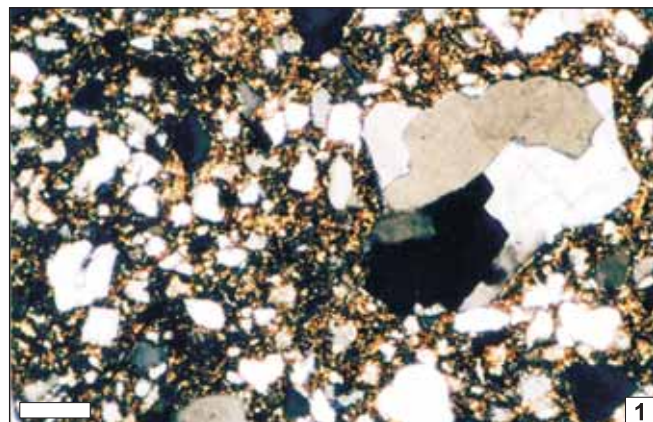
Tablica IV

Facja piaskowców i mułowców – fotografie mikroskopowe

Sandstone and mudstone facies – photomicrographs

- Fig. 1. Słabo wysortowana waka kwarcowa, różnego pochodzenia ziarna kwarca, mono i polikrystaliczne, największe stanowią fragmenty starszych skał osadowych; Hel IG 1, głęb. 2971,6 m
Poorly sorted quartz wacke, quartz grains of different origin, the greatest ones are the fragments of older rocks; Hel IG 1, depth 2971.6 m
- Fig. 2. Różnego pochodzenia ziarna kwarca (wulkaniczne i metamorficzne) w mułowcowo-marglistym tle skalnym; Dębki 2, głęb. 2595,0 m
Quartz grains of different origin (pyroclastic and metamorphic) in marly mudstone matrix; Dębki 2, depth 2595.0 m
- Fig. 3. Ziarno kwarca pochodzenia metamorficznego (metamorfizm ciśnieniowy) w żelazisto-ilastym tle skalnym; Kościerzyna IG 1, głęb. 4394,02 m
Quartz grain of metamorphic origin in ferruginous-clayey matrix; Kościerzyna IG 1, depth 4394.02 m
- Fig. 4. Waka lityczna, kontakt z soczewkami mułowcowymi; Hel IG 1, głęb. 2971,6 m
Lithic wacke, contact with mudstone lenses; Hel IG 1, depth 2971.6 m
- Fig. 5. Okruch piaskowca w spoowie mułowcowo-marglistym; Kościerzyna IG 1, głęb. 4394, 02 m
Sandstone clast in muddy-marly matrix; Kościerzyna IG 1, depth 4394.02 m
- Fig. 6. Waka lityczna, klast skały fosforanowej; ostrokrawędziasta i wydłużona forma niektórych ziaren kwarca może wskazywać na ich piroklastyczne pochodzenie; Kościerzyna IG 1, głęb. 4394,02 m
Lithic wacke, phosphorite rock clast; angular and elongated quartz grains may be of pyroclastic origin; Kościerzyna IG 1, depth 4394.02 m

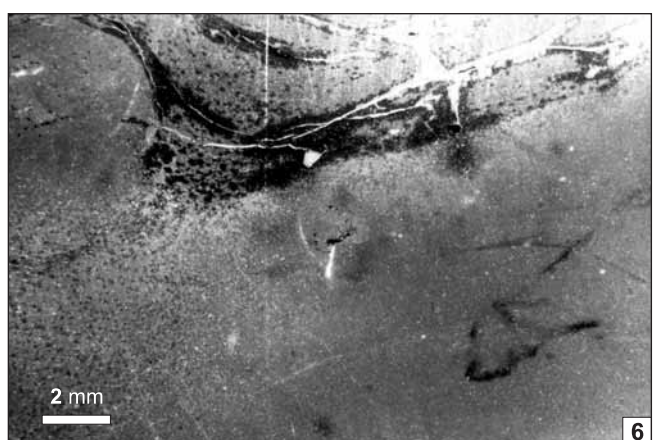
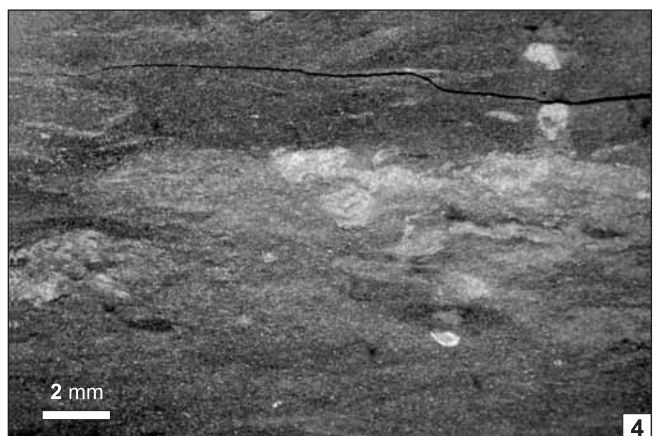
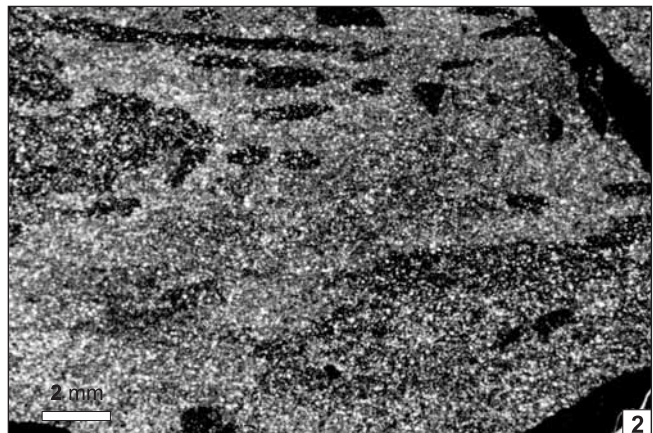
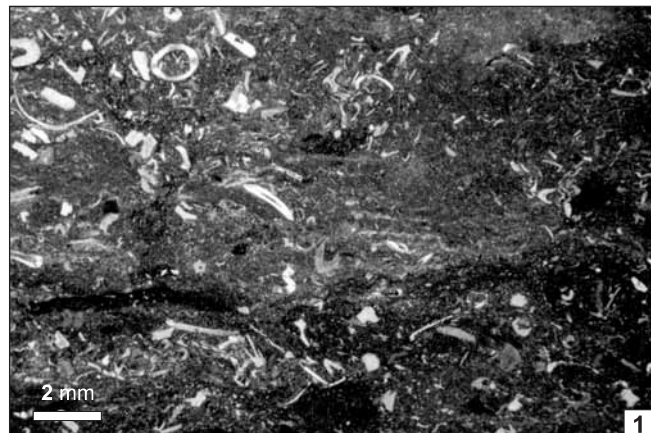
Nicole skrzyżowane oprócz fig. 5 – 1 nikol; skala 0,2 mm
Crossed polars except in Fig. 5 – single Nicol; scale bar 0.2 mm



Tablica V

Fotografie mikroskopowe (1 nikol)
Photomicrographs (single Nicol)

- Fig. 1. Wapień marglisty (wakston/pakston), Bartoszyce IG 1, głęb. 1842,2 m, formacja z Morąga, dolny aszgil, pirgu
Marly limestone (wackestone/packstone), Bartoszyce IG 1, depth 1842.2 m, Morag Fm., lower Ashgill, Pirgu
- Fig. 2. Ilowiec marglisty, zbioturbowany, Lidzbark Warmiński 3, głęb. 1947,3–1948,3 m, formacja z Morąga, dolny aszgil, pirgu
Marly claystone, bioturbated, Lidzbark Warmiński 3, depth 1947.3–1948.3 m, Morag Formation, Lower Ashgill, Pirgu
- Fig. 3. Wapień marglisty, mudstone/wakston, przekrój poprzeczny przez skorupę ramienionoga oraz skorupki małżoraczków, Bartoszyce IG 1, głęb. 1825,0 m, formacja z Ornetą, porkuni
Marly limestone, mudstone/wackestone, cross section of the brachiopod shell and ostracod carapaces, Bartoszyce IG 1, depth 1825.0 m, Orneta Fm., Porkuni
- Fig. 4. Wapień marglisty, wakston, nielaminowany, lekko zbioturbowany, Lidzbark Warmiński 3, głęb. 1920,9–1921,2 m, formacja z Ornetą, porkuni
Non-laminated, slightly bioturbated marly limestone, wackstone, Lidzbark Warmiński 3, depth 1920.9–1921.2 m, Orneta Fm., Porkuni
- Fig. 5. Wapień marglisty, madston, cienka laminacja równoległa, Lidzbark Warmiński 3, głęb. 1918,0 m, stropowa część formacji z Ornetą, porkuni
Marly limestone, mudstone, thin parallel lamination, Lidzbark Warmiński 3, depth 1918.0 m, upper part of the Orneta Fm., Porkuni
- Fig. 6. Wapień (madston) o strukturze gruzowej, Lidzbark Warmiński 3, głęb. 1910,0–1911,0 m, formacja z Barcian, niższy landower, juuru
Nodular limestone, mudstone, Lidzbark Warmiński 3, depth 1910.0–1911.0 m, Barciany Fm., lower Llandovery, Juuru



Tablica VI

Formacja z Ornety, piętro porkuni – fotografie mikroskopowe (1 nikol)

Orneta Formation, Porkuni stage – microphotographs (single nicol)

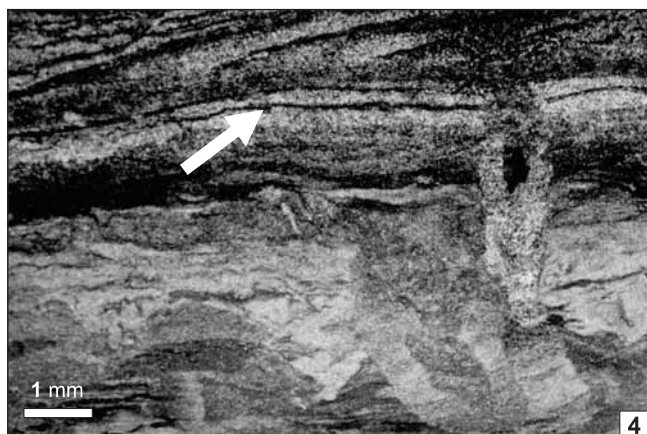
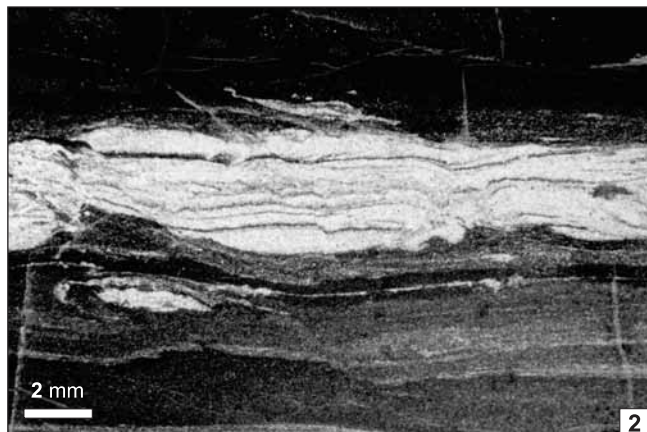
Fig. 1. Naprzemianległe słabo laminowane wapienie margliste, lekko zbioturbowane i mikrosoczewki wapieni masywnych, Lidzbark Warmiński 3, głęb. 1921,2 m
Weakly laminated and slightly bioturbated marly limestone, and microlenses of massive marly limestone, Lidzbark Warmiński 3, depth 1921.2 m

Fig. 2. Poziomo laminowany szary wapień marglisty (madston), laminy jaśniejsze (mikrosparytowe) naprzemianległe z ciemniejszymi (mikrytowymi); Lidzbark Warmiński 3, głęb. 1928,3 m.
Horizontally grey marly limestone (mudstone) laminated, light laminae are microsparitic, dark laminae – micritic; Lidzbark Warmiński 3, depth 1928.3 m

Fig. 3. Wapień cienko, miejscami faliście laminowany (strzałka), laminacja spowodowana naprzemianległym występowaniem laminek mikrytowych (ciemniejszych) i sparytowych (jaśniejszych) (?biolaminite) oraz spirytyzowana powierzchnia nieciągłości sedymentacyjnej; powyżej powierzchni nieciągłości wapień marglisty (madston) słabo laminowany; w dole zdjęcia *Planolites* isp.; Lidzbark Warmiński 3, głęb. 1934,3–1935,3 m
Thinly, in places wavy laminated limestone (arrow) with micritic (dark) and microsparitic (light) laminae (?biolaminites) with pyritized erosional surface; above the erosional surface slightly weakly laminated marly limestone (mudstone), in the lower part *Planolites* isp.; Lidzbark Warmiński 3, depth 1934.3–1935.3 m

Fig. 4. Wapień marglisty w górnej części cienko laminowany (strzałka); w dolnej części wapień marglisty zbioturbowany oraz ze skamieniałościami śladowymi *Diplocraterion* isp.; Lidzbark Warmiński 3, głęb 1934,3–1935,3 m
Thinly laminated marly limestone (arrow), in the lower part bioturbated marly limestone with *Diplocraterion* isp.; Lidzbark Warmiński 3, depth 1934.3–1935.3 m

Fig. 5, 6. Zbioturbowany wapień marglisty, miejscami z cienką płaską laminacją, Lidzbark Warmiński 3, głęb. 1934,3–1935,3 m
Bioturbated marly limestone with thin, flat lamination in places, Lidzbark Warmiński 3, depth 1934.3–1935.3 m



Tablica VII

Fotografie ze skaningowego mikroskopu elektronowego (SEM) – Hel IG 1

Scanning electron photomicrographs (SEM) – Hel IG 1 section

Fig. 1. Widok ogólny, struktura najczęściej bezładna, słabo zaznaczona laminacja, odmiana drobnołuseczkowa illitu, między łuskami illitu ziarno kwarcu (A) i skalenia potasowego (B)

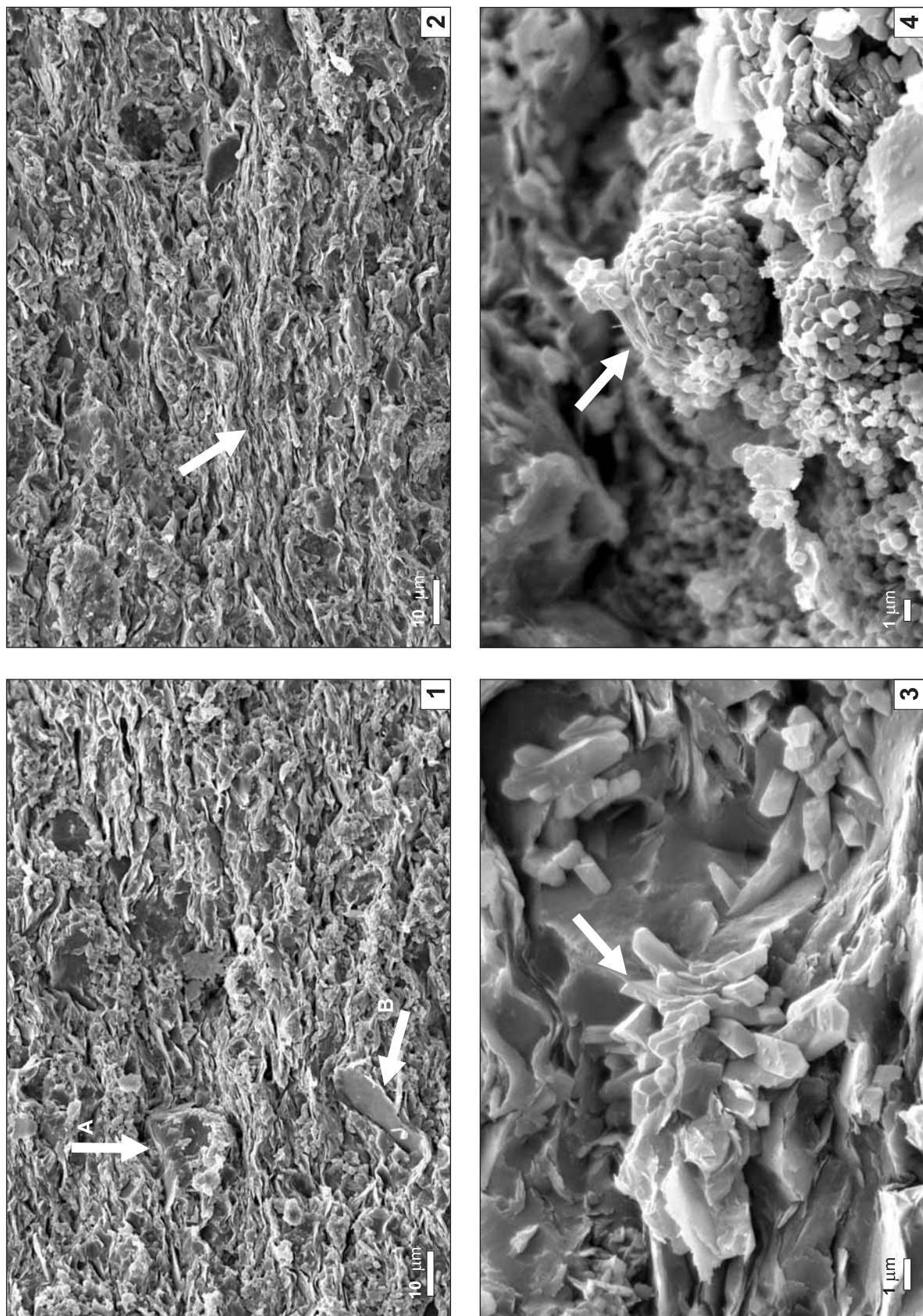
General view; mostly random structure, lamination visible only in places, fine illite flakes, a quartz grain between illite flakes (A) and K-feldspar (B)

Fig. 2. Rzadko widoczna laminacja równoległa i falista(strzałka) na tle nieuporządkowanej struktury ilowca
Rare flat parallel lamination (arrow) in the random structure of claystone

Fig. 3. Automorficzne kryształy celestynu (strzałka) i łuski illitu
Authomorphic crystals of celestine (arrow) and illite flakes

Fig. 4. Framboid pirytowy o średnicy 10 µm (strzałka)
Pyrite framboid, 10 µm in diameter (arrow)

Fig. 1–4 – głęb. 2971,3 m, próbka pochodząca z granicy ordowik/sylur
Figs 1–4 – depth 2971.3 m, sample from the Ordovician/Silurian boundary



Tablica VIII

Fotografie ze skaningowego mikroskopu elektronowego (SEM) – Hel IG 1

Scanning electron photomicrographs (SEM) – Hel IG 1 section

Fig. 1. Drobnołuseczkowa odmiana illitu, struktura nieuporządkowana, bez laminacji; duże ziarno kwarca (A) oraz skalenia (B) w ilowcu nielaminowanym

Fine flakes of illite, random structure, without lamination; large quartz (A) and feldspar (B) grains in non-laminated claystone

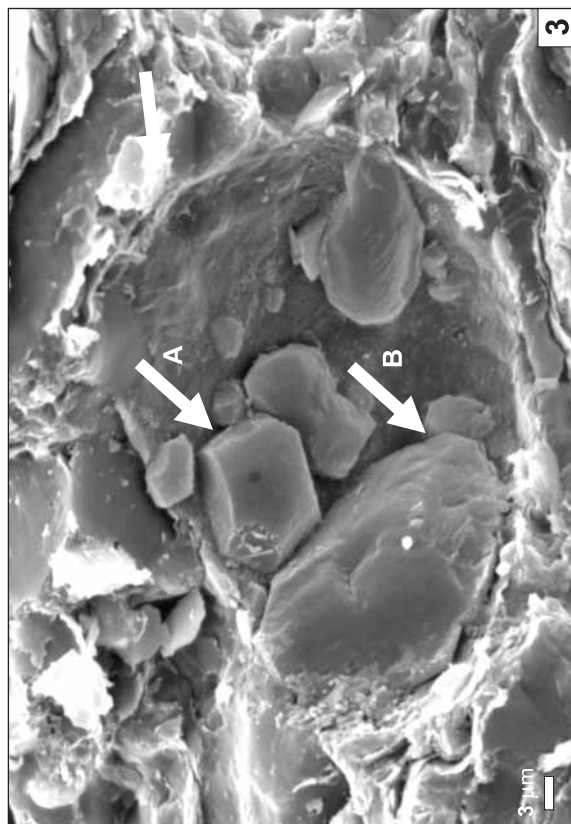
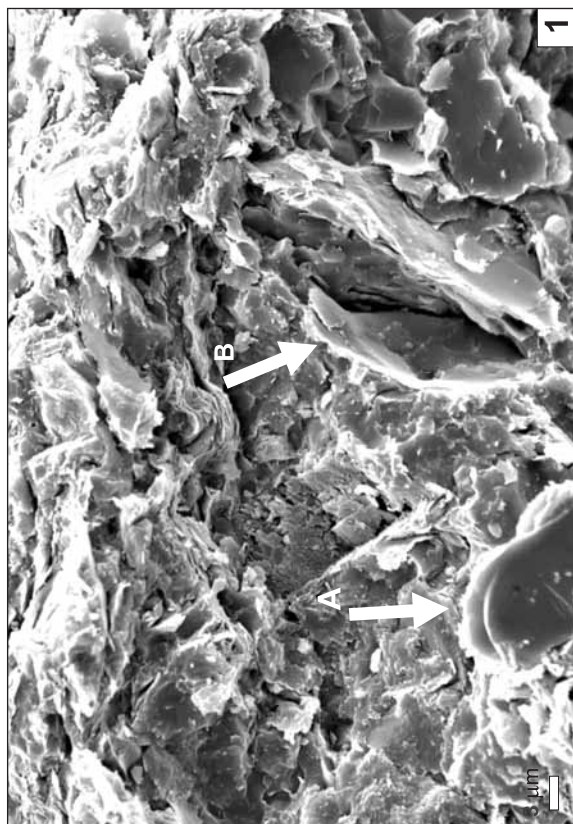
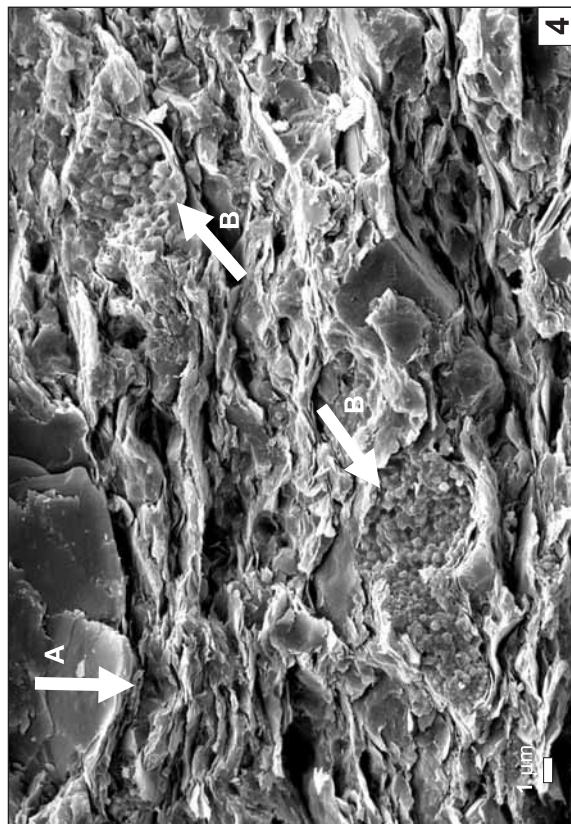
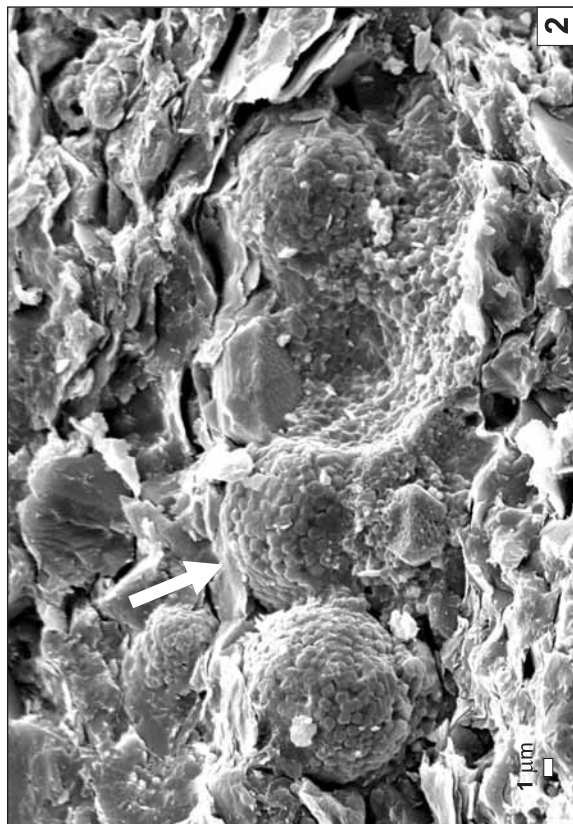
Fig. 2. Framboidy pirytowe o średnicy około 10 µm (strzałka) pomiędzy łuskami illitu
Pyrite phramboids, about 10 µm in diameter (arrow) between illite flakes

Fig. 3. Skupienie minerałów: autogeniczny dolomit (A) i detrytyczny kwarc (B) pomiędzy nieuporządkowanymi łuskami illitu
Authigenic dolomite (A) and detrital quartz (B) between random illite flakes

Fig. 4. Drobna laminacja wyrażona równoległym ułożeniem łuseczek illitu (A), skupienia drobnych kryształów pirytu między łuskami illitu (B)
Fine parallel lamination of illite flakes (A), fine pyrite crystals between the illite flakes (B)

Fig. 1–3 – głęb. 2971,3 m; fig. 4 – głęb. 2969,5, poziom *acuminatus*

Figs 1–3 – depth 2971.3 m; Fig. 4 – depth. 2969.5, *acuminatus* Biozone



Tablica IX

Fotografie ze skaningowego mikroskopu elektronowego (SEM)

Scanning electron photomicrographs (SEM)

Fig. 1. Drobnoluseczkowa odmiana illitu tworząca ciągłe laminy, między łuskami illitu widoczne ziarno kalcytu (strzałka); Hel IG 1, głęb. 2968,0 m, poziom *cyphus*

Fine illite flakes forming continuous laminae; calcite grains are visible between illite flakes (arrow); Hel IG 1, *cyphus* Biozone

Fig. 2. Kryształ pirytu (A) występujący razem z frambooidami pirytowymi (B)

Pyrite crystal (A) together with pyrite frambooids (B)

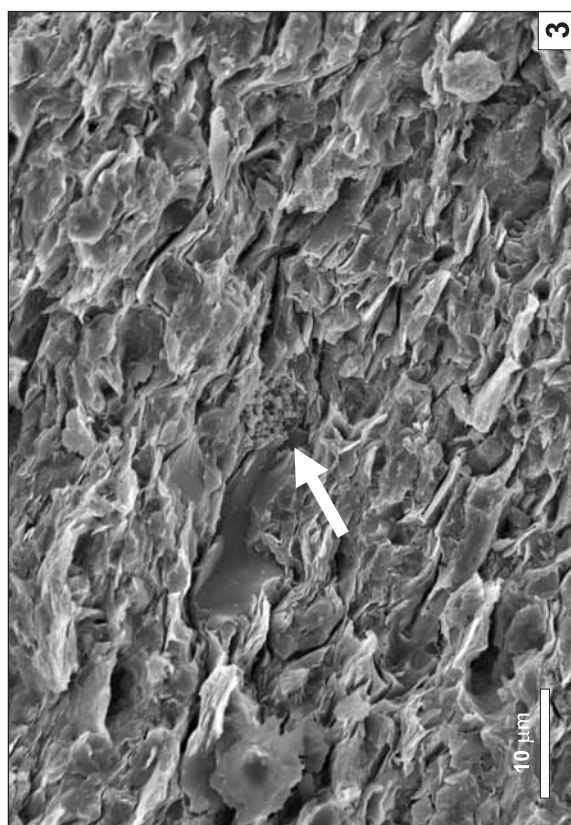
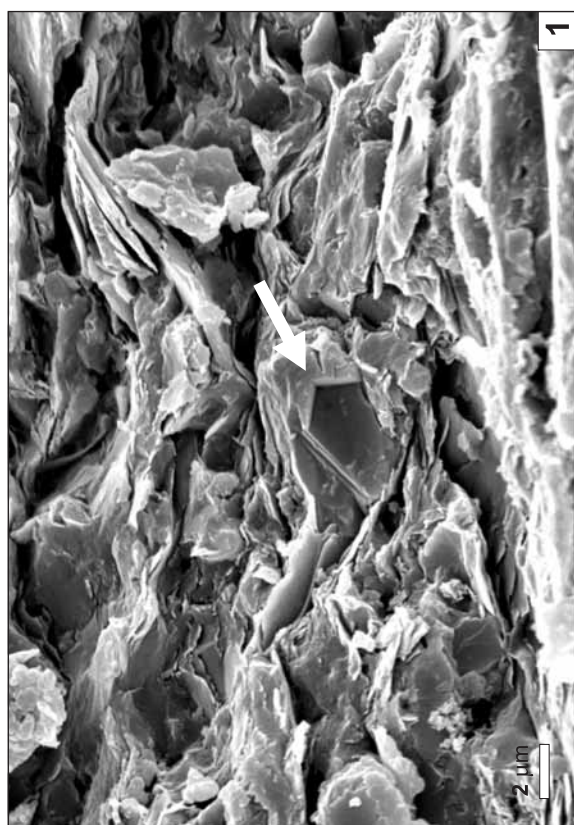
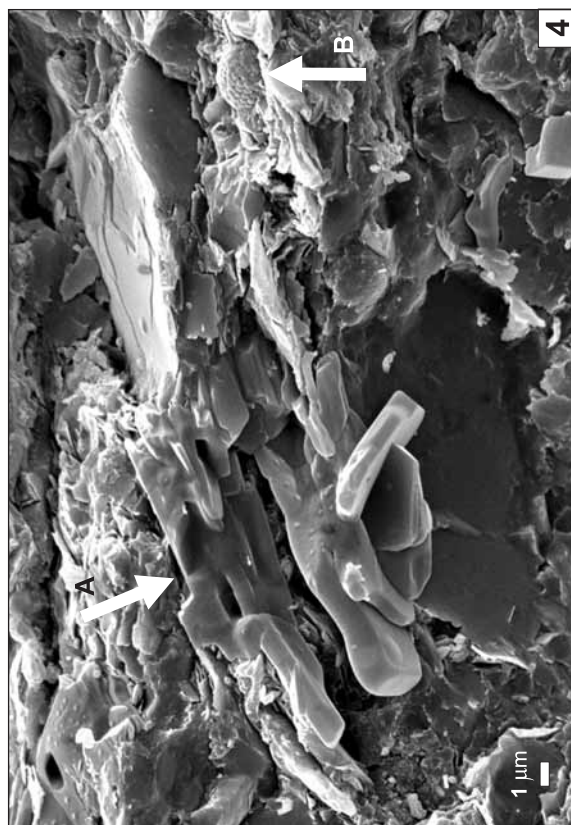
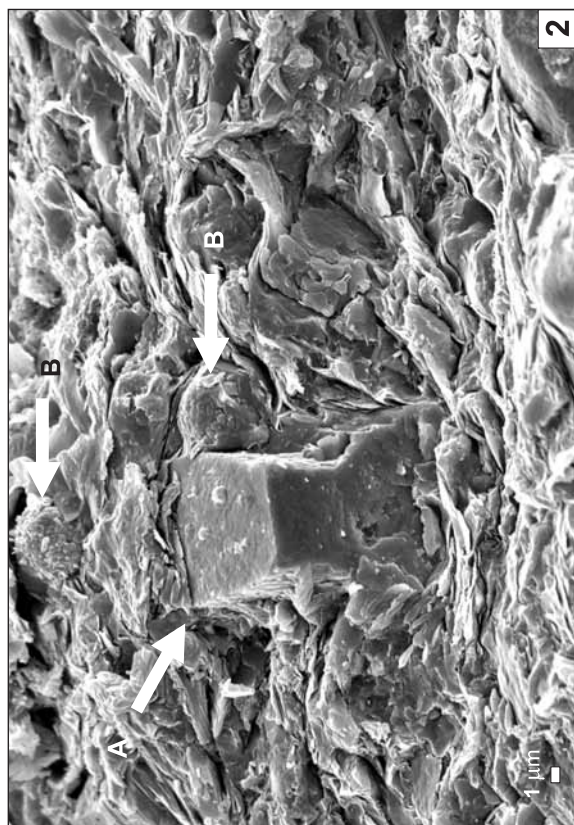
Fig. 3. Równoległa laminacja płaska i falista oraz drobne kryształy pirytu (strzałka) pomiędzy łuskami illitu
Parallel flat or wavy lamination in claystone and fine pyrite crystals between illite flakes (arrow)

Fig. 4. Anhydryt (A) oraz mały frambooid pirytowy (B) w ilowcu

Anhydrite (A) and small pyritic frambooid (B)

Fig. 2–4 – Kościerzyna IG 1, głęb. 4395,75 m, poziom *acuminatus*

Figs 2–4 – Kościerzyna IG 1, depth 4395.75 m, *acuminatus* Biozone

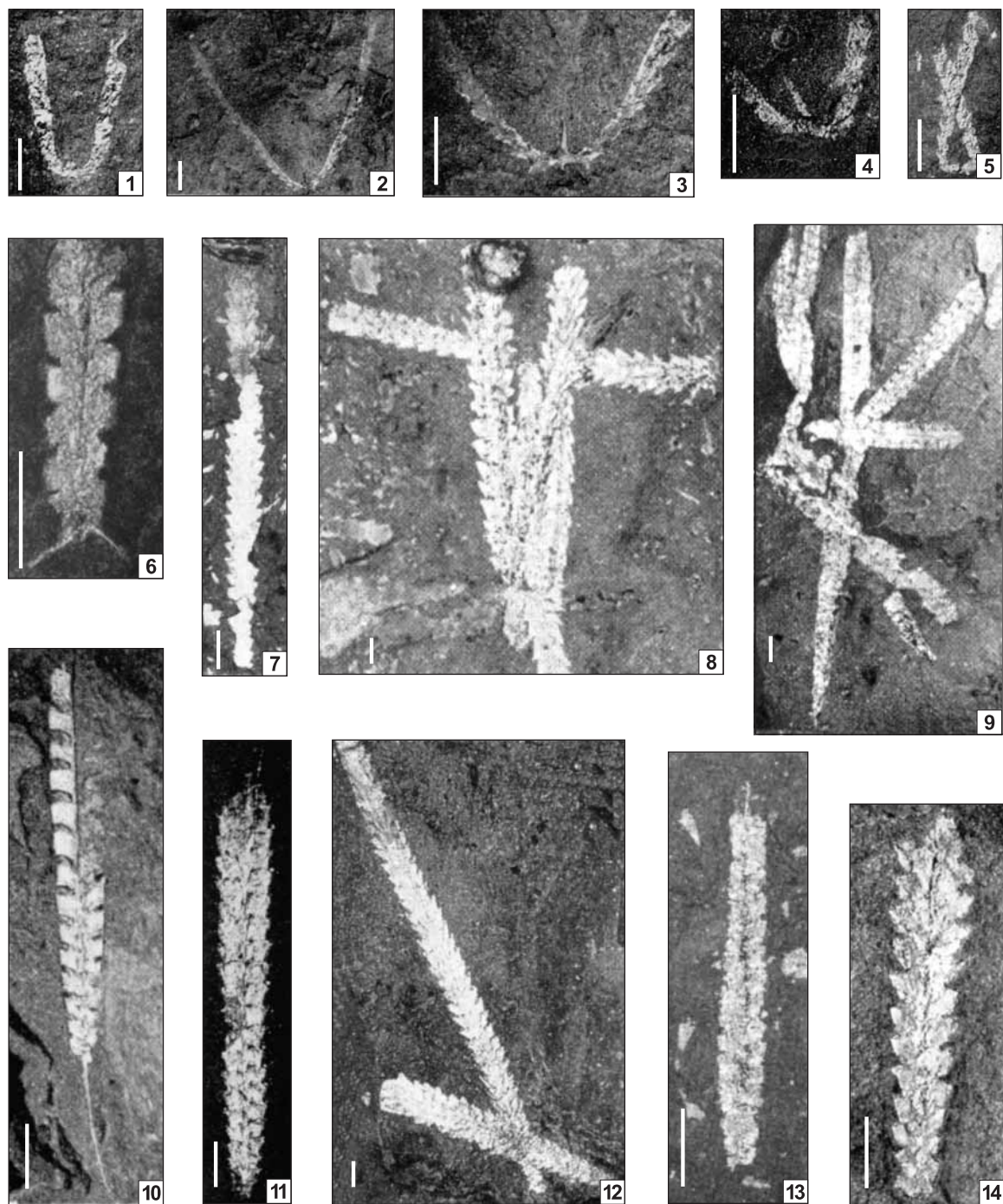


Tablica X

Zespół graptolitów górnego karadoku – zdjęcia makroskopowe
Upper Caradoc graptolite assemblage – macrophotographs

- Fig. 1. *Dicellograptus pumilus* Lapworth, Łeba 8, gęb. 2671,8 m
Dicellograptus pumilus Lapworth, Łeba 8, depth 2671.8 m
- Fig. 2, 3, 5. *Dicellograptus johnstrupi* Hadding, Białogóra 2, gęb. 2613,2 m
Dicellograptus johnstrupi Hadding, Białogóra 2, depth 2613.2 m
- Fig. 4. *Dicellograptus caduceus* Lapworth, Łeba 8, gęb. 2671,8 m
Dicellograptus caduceus Lapworth, Łeba 8, depth 2671.8 m
- Fig. 6. *Climacograptus spiniferus* Ruedemann, Białogóra 2, gęb. 2616,2 m
Climacograptus spiniferus Ruedemann, Białogóra 2, depth 2616.2 m
- Fig. 7. *Orthograptus truncatus intermedius* Elles et Wood, Białogóra 1, gęb. 2668,9 m
Orthograptus truncatus intermedius Elles et Wood, Białogóra 1, depth 2668.9 m
- Fig. 8. *O. truncatus pauperatus* Elles et Wood, Łeba 8, gęb. 2669,8 m
O. truncatus pauperatus Elles et Wood, Łeba 8, depth 2669.8 m
- Fig. 9. *Climacograptus styloideus* Elles et Wood, Dębki 2, gęb. 2597,7 m
Climacograptus styloideus Elles et Wood, Dębki 2, depth 2597.7 m
- Fig. 10. *C. caudatus* Lapworth, Białogóra 2, gęb. 2614,2 m
C. caudatus Lapworth, Białogóra 2, depth 2614.2 m
- Fig. 11. *Orthograptus quadrimucronatus* (Hall), Dębki 2, gęb. 2597,7 m
Orthograptus quadrimucronatus (Hall), Dębki 2, depth 2597.7 m
- Fig. 12. *O. calcaratus vulgatus* Elles et Wood, Białogóra 2, gęb. 2669,8 m
O. calcaratus vulgatus Elles et Wood, Białogóra 2, depth 2669.8 m
- Fig. 13. *Climacograptus minimus* Carruthers, Łeba 8, gęb. 2671,8 m
Climacograptus minimus Carruthers, Łeba 8, depth 2671.8 m
- Fig. 14. *Orthograptus truncatus truncatus* (Lapworth), Białogóra 2, gęb. 2614,2 m
Orthograptus truncatus truncatus (Lapworth), Białogóra 2, depth 2614.2 m

Skala 2 mm
Scale bar 2 mm



Tablica XI

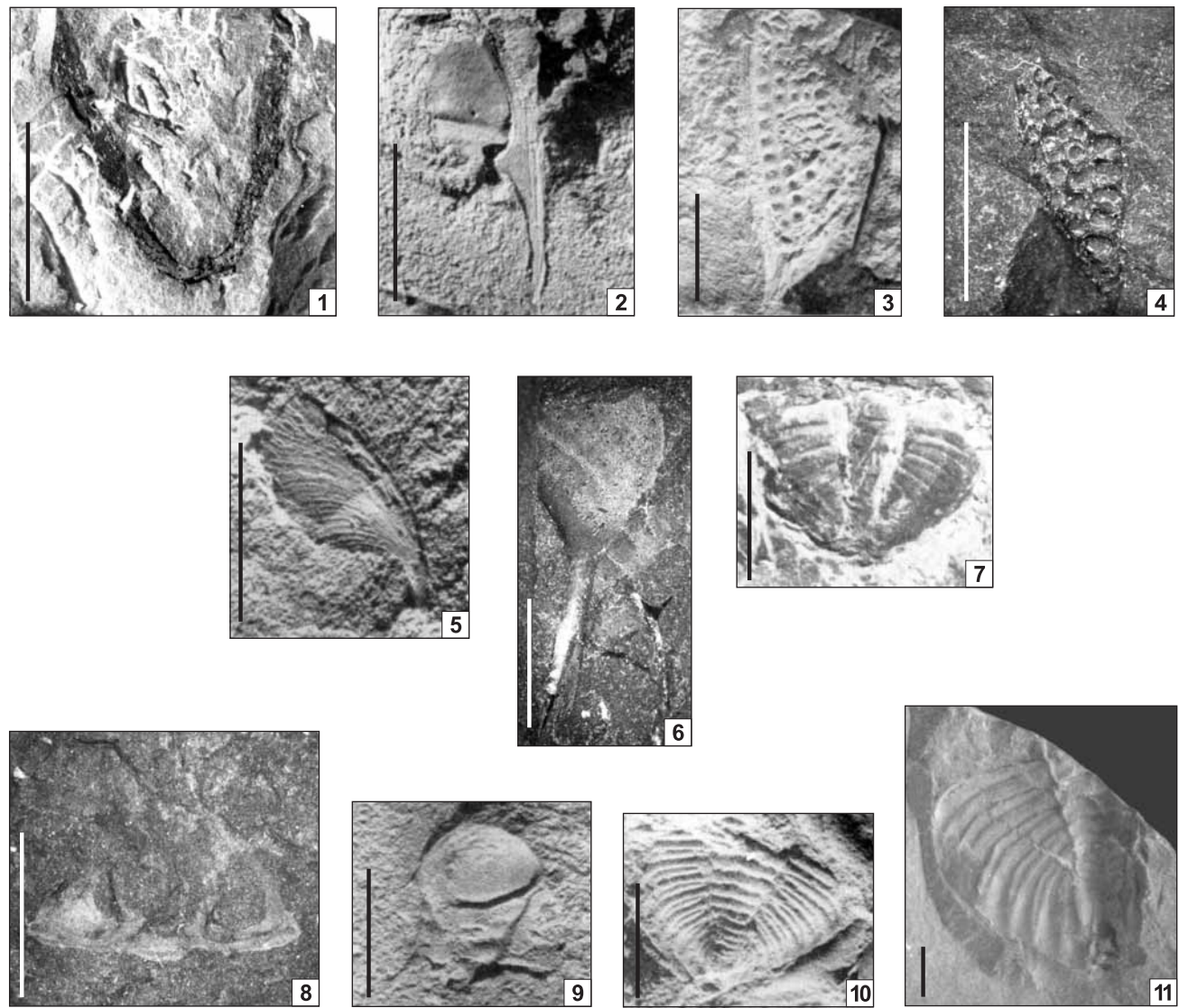
Fauna wyższego katu i niższego hirnantu – zdjęcia makroskopowe

Upper Katian and lower Hirnantian fauna – macrophotographs

- Fig. 1. *?Dicellograptus ornatus* Hopkinsom, Dębki 2, głęb. 2595,7 m, ?poziom *pacificus*
?Dicellograptus ornatus Hopkinsom, Dębki 2, depth 2595.7 m, ?*pacificus* Biozone
- Fig. 2. *Phillipsinella parabola* (Barrande), Białogóra 2, głęb. 2608,5 m
Phillipsinella parabola (Barrande), Białogóra 2, depth 2608.5 m
- Fig. 3. *Tretaspis* sp. Dębki 2, głęb. 2595,7 m
Tretaspis sp. Dębki 2, depth 2595.7 m
- Fig. 4. *Tretaspis* cf. *granulata* (Wahlenberg), Hel IG 1, głęb. 2976,5 m
Tretaspis cf. *granulata* (Wahlenberg), Hel IG 1, depth 2976.5 m
- Fig. 5. *?Opsimasaphus* sp., Dębki 2, głęb. 2595,7 m
?Opsimasaphus sp., Dębki 2, depth 2595.7 m
- Fig. 6. *?Raphiophorus acus* (Troedsson), Lębork IG 1, głęb. 3277,0 m
?Raphiophorus acus (Troedsson), Lębork IG 1, depth 3277.0 m
- Fig. 7. *Calliops* cf. *callicephalus* (Hadding), Dębki 2, głęb. 2696,7 m
Calliops cf. *callicephalus* (Hadding), Dębki 2, depth 2696.7 m
- Fig. 8. *?Lonchodomas* sp. – niekompletny cephalon, Lębork IG 1, głęb. 3280,0 m
?Lonchodomas sp. – incomplete cephalon, Lębork IG 1, depth 3280.0 m
- Fig. 9. *Mucronaspis mucronata* (Brongniart), cephalon, Białogóra 2, głęb. 2608,5 m
Mucronaspis mucronata (Brongniart), cephalon, Białogóra 2, depth 2608.5 m
- Fig. 10. *Mucronaspis mucronata* (Brongniart), pygidium, Hel IG 1, głęb. 2973,5
Mucronaspis mucronata (Brongniart), pygidium, Hel IG 1, depth 2973.5
- Fig. 11. *Mucronaspis* cf. *oljni* Temple, pygidium, Lębork IG 1, głęb. 3275,0 m
Mucronaspis cf. *oljni* Temple, pygidium, Lębork IG 1, depth 3275.0 m

Skala 5 mm

Scale bar 5 mm



Tablica XII

Fauna Hirnantia

Zdjęcia makroskopowe
Macrophotographs

Fig. 1. A – *Eostropheodonta hirnantensis* (M'Coy); B – *H. sagittifera* (M'Coy)

Fig. 2. *Onniella* sp.

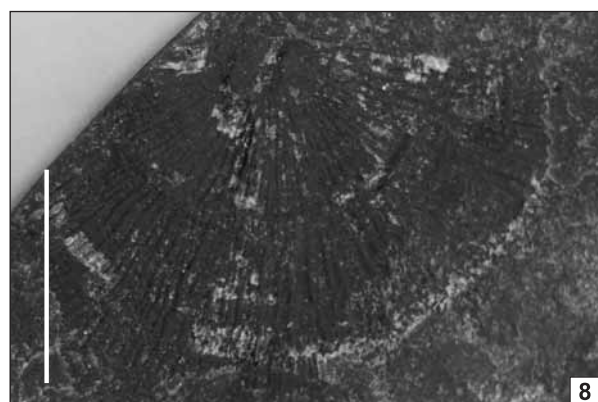
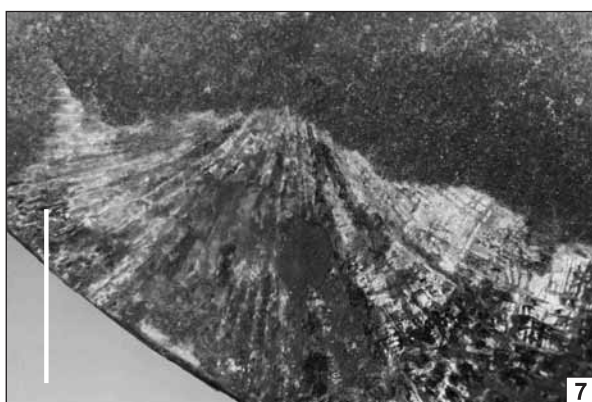
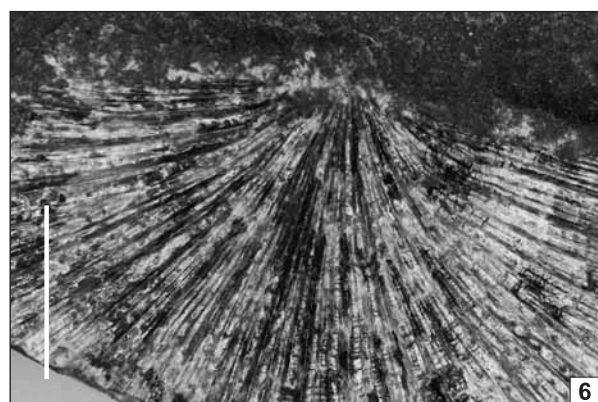
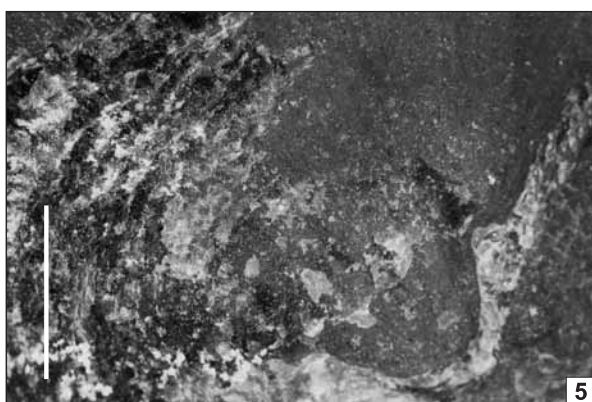
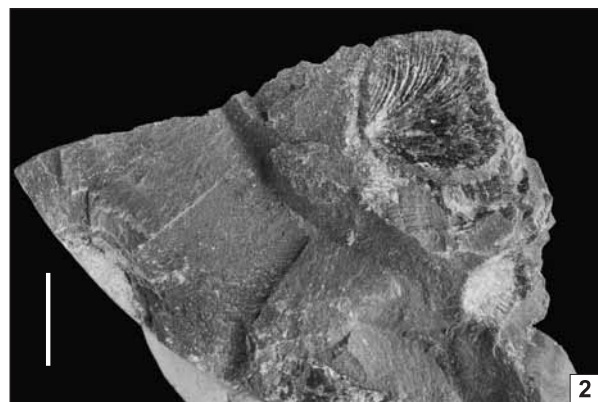
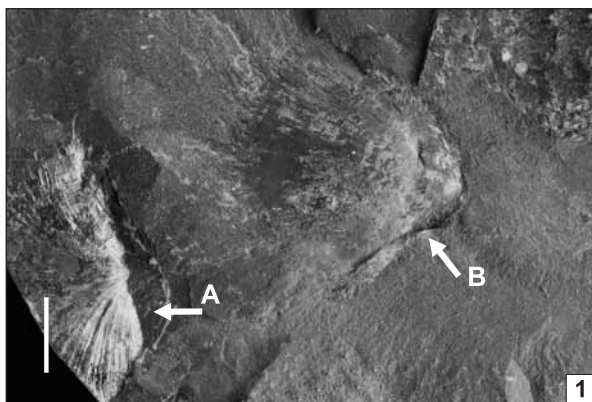
Fig. 3, 4. *Kinnella kielanae* Temple

Fig. 5. *H. sagittifera* (M'Coy)

Fig. 6–8. *Eostropheodonta hirnantensis* (M'Coy)

Fig. 1, 3–8 – Hel IG, głęb. 2971,5–2972,5 m; fig. 2 – Białogóra 2, głęb. 2608,0 m
Fig. 1, 3–8 – Hel IG, depth 2971.5–2972.5 m; Fig. 2 – Białogóra 2, depth 2608.0 m

Skala 10 mm
Scale 10 mm

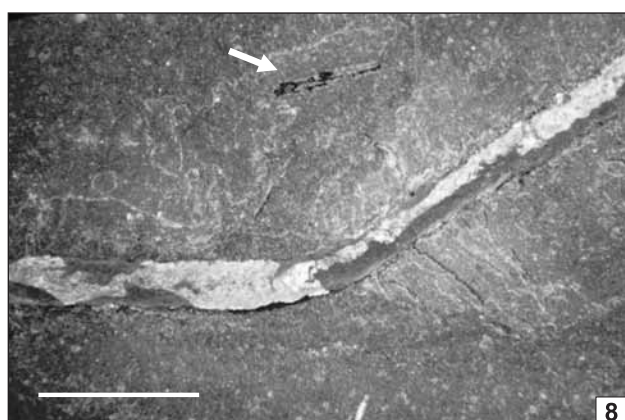
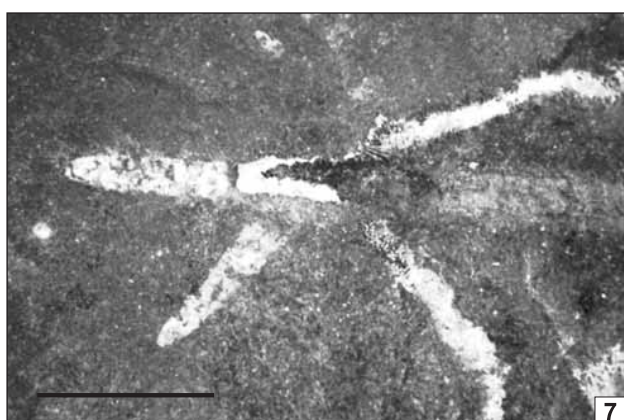
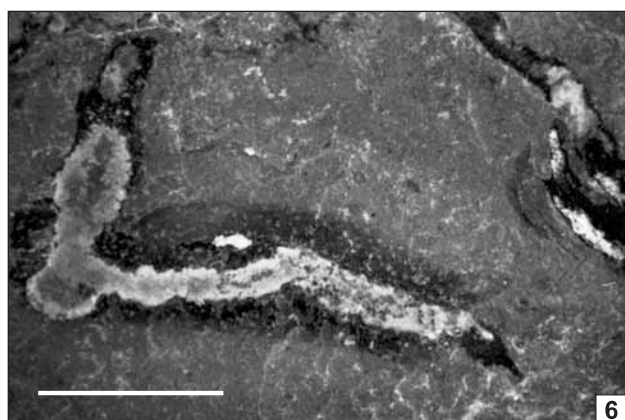
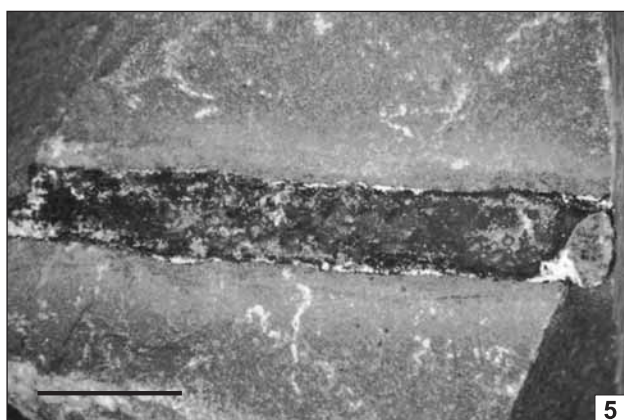
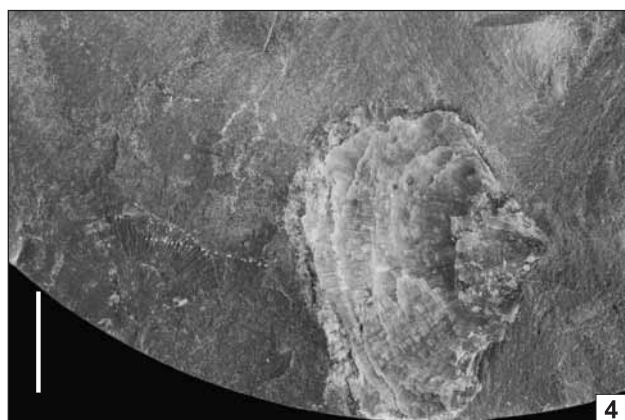
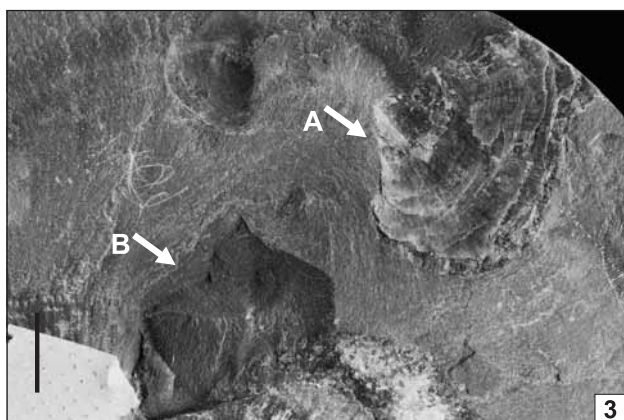
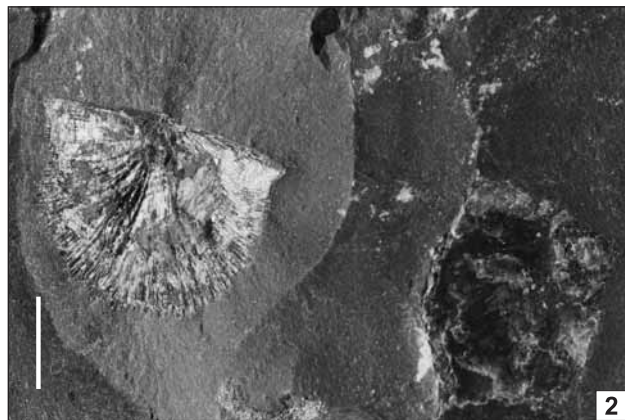


Tablica XIII

- Fig. 1. *Hirnantia sagittifera* (M'Coy), Hel IG 1, głęb. 2972,5–2973,0 m
Hirnantia sagittifera (M'Coy), Hel IG 1, depth 2972.5–2973.0 m
- Fig. 2. *Eostropheodonta cf. whittingtoni* Bankroft, Hel IG 1, głęb. 2972,5–2973,5 m
Eostropheodonta cf. whittingtoni Bankroft, Hel IG 1, depth 2972.5–2973.5 m
- Fig. 3. A – *Dalmanella testudinaria* (Dalman), B – *Hirnantia sagittifera* (M'Coy), Hel IG 1, głęb. 2972,5 m
A – *Dalmanella testudinaria* (Dalman), B – *Hirnantia sagittifera* (M'Coy), Hel IG 1, depth 2972.5 m
- Fig. 4. *Paromalomena polonica* (Temple), Hel IG 1, głęb. 2973,5 m
Paromalomena polonica (Temple), Hel IG 1, depth 2973.5 m
- Fig. 5. *Planolites* isp. cf. *P. beverleyensis* (Billings), jamka żerowiskowo-mieszkalna (fodinichnia), Hel IG 1, głęb. 2971,4 m
Planolites isp. cf. *P. beverleyensis* (Billings), fodinichnia, Hel IG 1, depth 2971.4 m
- Fig. 6. Jamki żerowiskowo-mieszkalne w ilowcu marglistym, Białogóra 2, głęb. 2604,0–2605,0 m, wyższy hirnant
Fodinichnia in marly claystone, Białogóra 2, depth 2604.0–2605.0 m, upper Hirnantian
- Fig. 7. Dwa okazy graptolitów *Normalograptus normalis* (Lapworth) (graptolity z grupy H-normalis), razem ze skamieniałościami śladowymi, ilowiec marglisty; Łeba 8, głęb. 2660,5 m
Two specimens of *Normalograptus normalis* (Lapworth) (type H-normalis), and trace fossils, marly claystone, Łeba 8, depth 2660.5 m
- Fig. 8. Duży *Planolites* isp. oraz wczesne stadia rozwoju ?*Akidograptus ascensus* Davies (strzałka), pogranicze ordowiku i syluru, Hel IG 1, głęb. 2971,3 m
Large *Planolites* isp. and early stage of ?*Akidograptus ascensus* Davies (arrow), Ordovician/Silurian boundary, Hel IG 1, depth 2971.3 m

Skala 10 mm

Scale bar 10 mm



Tablica XIV

Graptolity poziomu *persculptus* i najniższej części poziomu *ascensus*

Graptolites of the *persculptus* and lowest *ascensus* biozones

Fig. 1–3, 8. *Normalograptus avitus* (Davies), fig. 8 – powiększenie części proksymalnej okazu przedstawionego na fig. 3, zachowanego w prawie pełnym reliefie; Hel IG 1, głęb. 2971,3 m

Normalograptus avitus (Davies), Fig. 8 – enlargement of the proximal part of specimen illustrated in Fig. 3, preserved in nearly full relief; Hel IG 1, depth 2971.3 m

Fig. 4, 6. Graptolity najniższej części poziomu *ascensus* razem z koprolitami, Hel IG 1, głęb. 2971,0 m

Graptolites of the lowermost part of the *ascensus* Biozone accompanied by coprolites, Hel IG 1, depth 2971.0 m

Fig. 5, 7. *Normalograptus persculptus* (Elles et Wood), Hel IG 1, 2971,3 m

Normalograptus persculptus (Elles et Wood), Hel IG 1, depth 2971.3 m

Fig. 9. Wczesne stadium rozwoju ?*A. ascensus* Davies, Hel IG 1, głęb. 2971,0 m

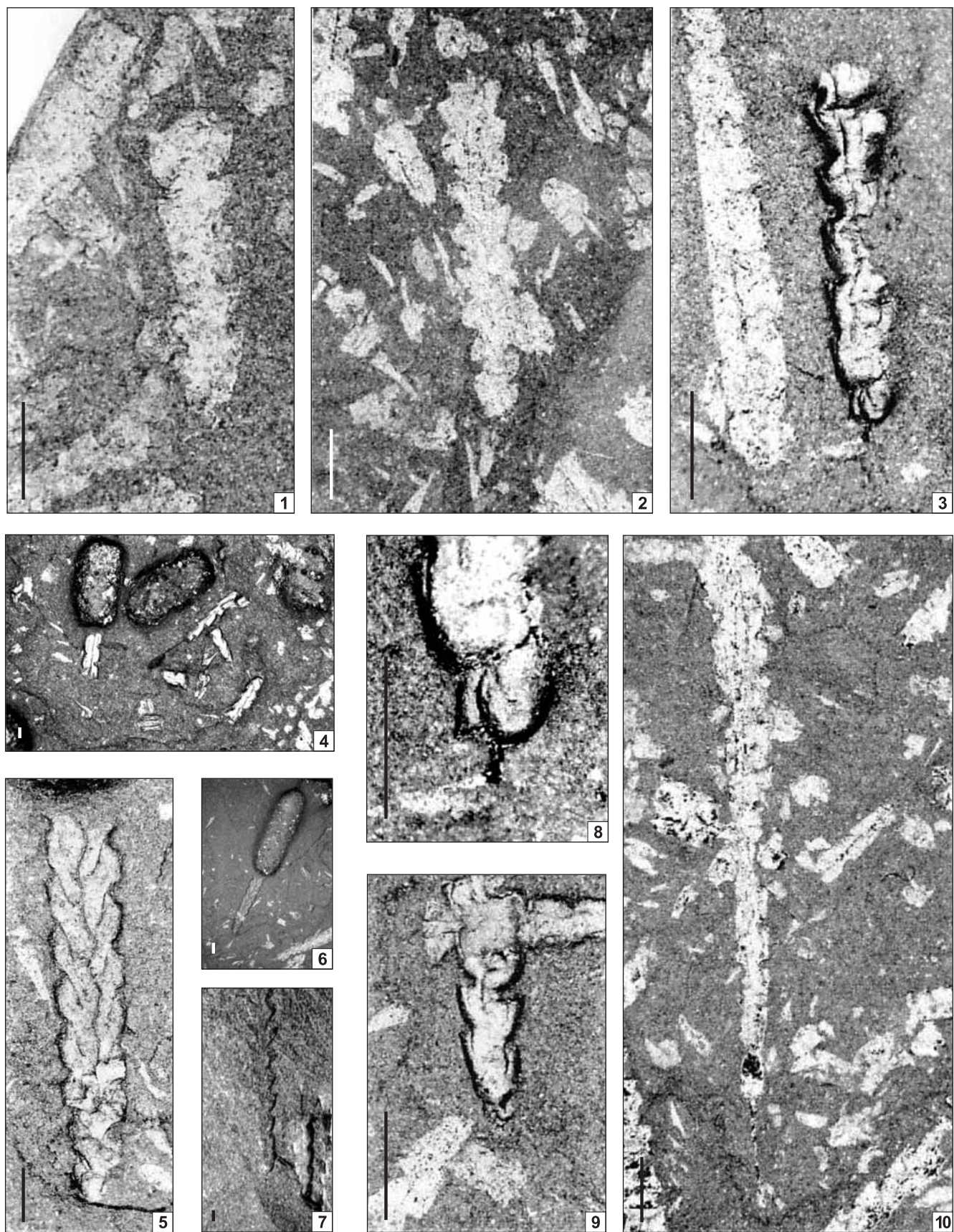
Early stage of ?*A. ascensus* Davies, Hel IG 1, depth 2971.0 m

Fig. 10. ?*Normalograptus angustus* (Elles et Wood), Hel IG 1, głęb. 2971,2 m

?*Normalograptus angustus* (Elles et Wood), Hel IG 1, depth 2971.2 m

Skala 2 mm

Scale bar 2 mm



Tablica XV

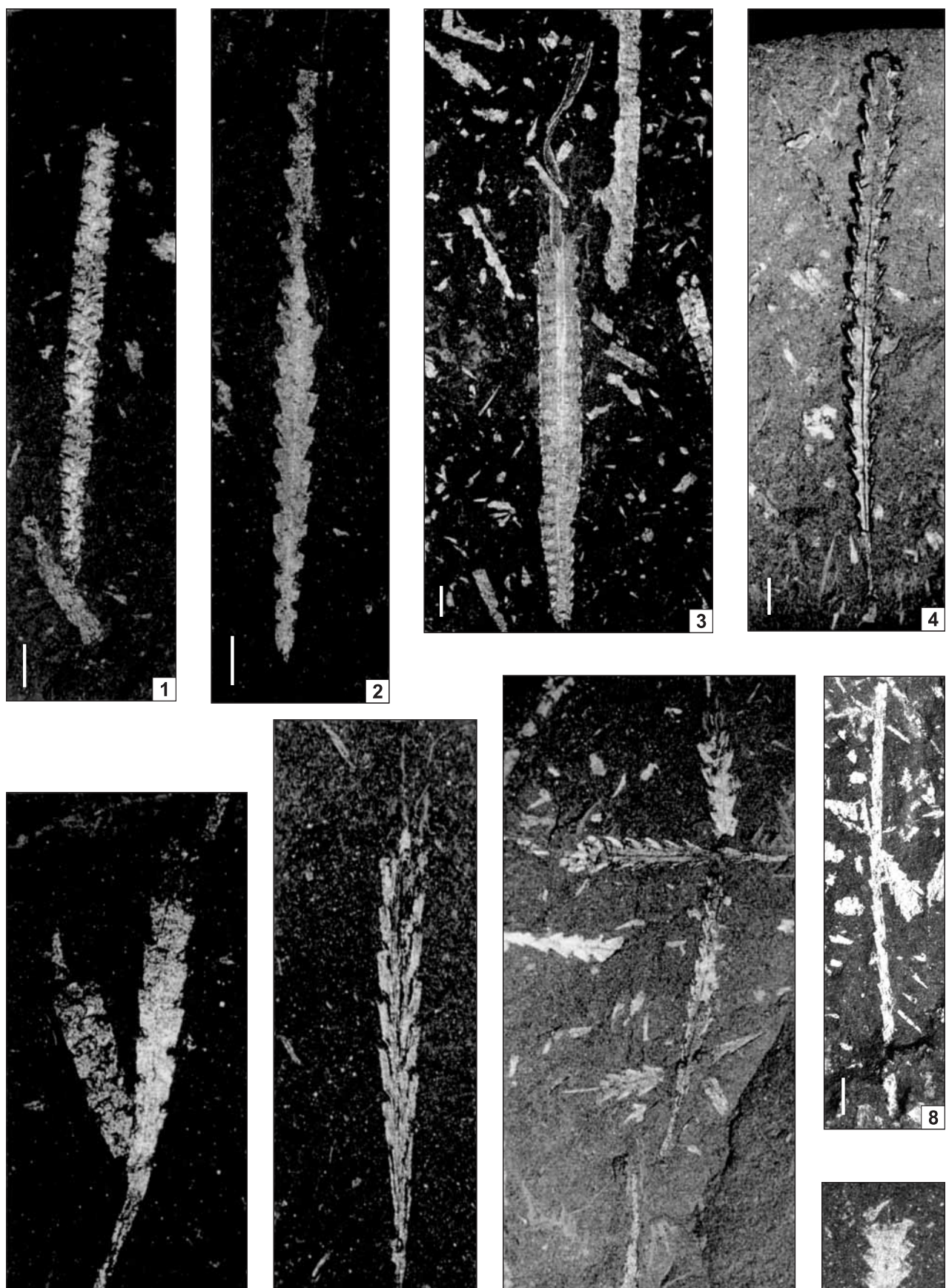
Graptolity fazy odnowienia, poziomy *ascensus*, *acuminatus* i *vesiculosus*, niższy landower (rhuddan)

Graptolites of the recovery phase; *ascensus*, *acuminatus*, *vesiculosus* biozones, early Llandovery (Rhuddanian)

- Fig. 1. *Normalograptus normalis* (Lapworth), Łeba 8, głęb. 2659,5 m, poziom *ascensus*
Normalograptus normalis (Lapworth), Łeba 8, depth 2659.5 m, *ascensus* Biozone
- Fig. 2. *Diplograptus rarus* Rickards, Łeba 8, głęb. 2659,0 m, poziom *ascensus*
Diplograptus rarus Rickards, Łeba 8, depth 2659.0 m, *ascensus* Biozone
- Fig. 3. *Cystograptus vesiculosus* (Nicholson), Łeba 8, głęb. 2658,1 m, poziom *vesiculosus*
Cystograptus vesiculosus (Nicholson), Łeba 8, depth 2658.1 m, *vesiculosus* Biozone
- Fig. 4. *Parakidograptus acuminatus* (Nicholson), Białogóra 1, głęb. 2625,1 m, poziom *acuminatus*
Parakidograptus acuminatus (Nicholson), Białogóra 1, depth 2625.1 m, *acuminatus* Biozone
- Fig. 5. *Akidograptus ascensus* Davies, Białogóra 1, głęb. 2625,5 m, poziom *ascensus*
Akidograptus ascensus Davies, Białogóra 1, depth 2625.5 m, *ascensus* Biozone
- Fig. 6. *Akidograptus ascensus* Davies, Łeba 8, głęb. 2658,7 m, poziom *ascensus–acuminatus*
Akidograptus ascensus Davies, Łeba 8, depth 2658.7 m, *ascensus–acuminatus* Biozone
- Fig. 7. *Parakidograptus acuminatus* (Nicholson), Kościerzyna IG 1, głęb. 4393,0, poziom *acuminatus*
Parakidograptus acuminatus (Nicholson), Kościerzyna IG 1, depth 4393.0, *acuminatus* Biozone
- Fig. 8. *Atavograptus atavus* (Jones), Kościerzyna IG 1, głęb. 4391,0 m, poziom *vesiculosus*
Atavograptus atavus (Jones), Kościerzyna IG 1, depth 4391.0 m, *vesiculosus* Biozone
- Fig. 9. *Dimorphograptus confertus* (Nicholson), Kościerzyna IG 1, głęb. 4391,0 m, poziom *vesiculosus*
Dimorphograptus confertus (Nicholson), Kościerzyna IG 1, depth 4391.0 m, *vesiculosus* Biozone

Skala 2 mm

Scale bar 2 mm



Tablica XVI

Skamieniałości śladowe (1–6), niższy landower, formacja z Barcian – zdjęcia makroskopowe

Trace fossils (1–6), lower Llandovery, Barciany Fm. – macrophotographs

- Fig. 1. A – *Chondrites* isp.; B – ?*Planolites* isp., Barciany 4, głęb. 1676,0 m
A – *Chondrites* isp.; B – ?*Planolites* isp., Barciany 4, depth 1676.0 m
- Fig. 2. *Chondrites* isp., Lidzbark Warmiński 3, głęb. 1913,0 m
Chondrites isp., Lidzbark Warmiński 3, depth 1913.0 m
- Fig. 3. A – *Rosselia* isp.; B – faecal pellets, Barciany 4, głęb. 1676,5 m
A – *Rosselia* isp.; B – faecal pellets, Barciany 4, depth 1676.5 m
- Fig. 4. A – *Chondrites* isp., B – *Planolites* isp., Barciany 4, głęb. 1664,0 m
A – *Chondrites* isp., B – *Planolites* isp., Barciany 4, depth 1664.0 m
- Fig. 5. *Chondrites* isp., Lidzbark Warmiński 3, głęb. 1913,0 m
Chondrites isp., Lidzbark Warmiński 3, depth 1913.0 m
- Fig. 6. A – *Chondrites* isp., B – ?*Planolites* isp., Lidzbark Warmiński 3, głęb. 1911,0 m
A – *Chondrites* isp., B – ?*Planolites* isp., Lidzbark Warmiński 3, depth 1911.0 m
- Fig. 7. Wczesne stadium rozwoju graptolita (sikula i pierwsza teka), prawdopodobnie z rodzaju *Normalograptus*, Lidzbark Warmiński 3, głęb. 1913,0 m
Early ontogenetic stage of graptolite (sicula and 1st theca) probably of genus *Normalograptus*, Lidzbark Warmiński 3, depth 1913.0 m

